

تحلیل عملکرد دیواره‌ی میخ‌کوبی در تشبیت دیواره‌ی گودبرداری‌های عمیق براساس سطوح خرابی سازه‌های مجاور گود

ابراهیم نعیمی فر (دانشجوی دکتری)

شهاب الدین بیوی * (دانشیار)

دانشکده‌ی هندسی عمران، دانشگاه تربیت مدرس

علی فاخر (دانشیار)

دانشکده‌ی فنی و هندسی، دانشگاه تهران

علی اکبر گلشنی (استادیار)

دانشکده‌ی هندسی عمران، دانشگاه تربیت مدرس

مهمشی عرض شرف، (زمستان ۱۳۹۴)، دوری ۲ - ۱، شماره ۲ / ۳، ص. ۱۲۳-۱۳۰، (پادشاهت قاجار)

تخمین و ارزیابی آسیب‌های واردہ به سازه‌های اطراف گود به‌واسطه‌ی جاچایی‌های زمین، از مسائل حائز اهمیت در ملاحظات مربوط به طراحی سیستم میخ‌کوبی در مناطق شهری است. این مسئله در صورت حضور سازه‌های با عمر زیاد و یا با درجه‌ی استحکام پائین در مجاورت گود اهمیت بیشتری دارد. به‌واسطه‌ی نبود داده‌های مستند و دقیق و همچنین تعدد متغیرهای تأثیرگذار در پاسخ سازه‌ها به جاچایی‌های ناشی از گودبرداری، در حال حاضر معیارهای تخمین درجه‌ی آسیب سازه‌های مجاور گود، بسیار محدود و در بسیاری از موارد به‌واسطه‌ی محدودیت‌های موجود کاربردی نیستند. در این پژوهش سعی شده است با تکیه بر ۱۰ مطالعه‌ی موردنی و همچنین بهره‌گیری از آنالیزهای عددی و احتمالاتی، ضمن تحلیل عملکرد سیستم میخ‌کوبی در تشبیت دیواره‌ی گودبرداری‌های عمیق، به ارائه سطوح خرابی سازه‌های مجاور گود براساس تابع پتانسیل خرابی پرداخته شود. سطوح خرابی پیشنهادی در این نوشتار، نشانگر میزان خرابی محتمل در سازه‌های مصالح بنایی مجاور دیواره‌ی میخ‌کوبی شده، با توجه به فاصله‌ی قاب سازه از برگود و بهاء بیشینه‌ی مقادیر تعییرشکل افقی دیواره‌ی گود است.

i.naeimifar@yahoo.com
shahab.yasrobi@gmail.com
afakher@ut.ac.ir
hgoleshani@hotmail.com

واژگان کلیدی: گودبرداری، میخ‌کوبی، عملکرد، سطوح خرابی.

۱. مقدمه

جاچایی دیواره‌ی میخ‌کوبی، که به عنوان لازمه‌ی بسیج نیرو در میخ‌ها ذکر شده است، متنعج به تغییرشکل‌های قائم (نشست) و تغییرشکل‌های افقی خاک مجاور گود می‌شود. این تغییرشکل‌ها موجب برخی آسیب‌ها به سازه‌ها و شریان‌های حیاطی مجاور محدوده‌ی گودبرداری می‌شود، که منشأ بسیاری از چالش‌ها در استفاده از روش میخ‌کوبی در تشبیت دیواره‌های گود در مناطق شهری است.

به‌طورکلی علاوه بر روش میخ‌کوبی در عمدۀ‌ی روش‌های روش‌های تسلیح خاک، جاچایی دیواره‌ی گود اجتناب‌ناپذیر است. از این رو این موضوع مورد توجه پژوهشگران قرار گرفته و در این زمینه، مطالعات متعددی صورت پذیرفته است. در یکی از مطالعات انجام شده به ارائه‌ی داده‌های مختلف ثبت‌شده از نتیجه خاک در مجاور دیواره‌ی گود پرداخته شده است.^[۱] در مطالعه‌ی مذکور که بر روی گودهای مسلح شده با روش اجرای شمع متمرکز بوده است، محدوده‌ی تأثیر گود در خاک‌های رسی نرم تا فاصله‌ی بیشینه‌ی ۴ برابر عمق گود و در خاک‌های رسی متوسط تا سفت تا فاصله‌ی بیشینه‌ی ۲ برابر گود تخمین زده شده است. براساس سایر نتایج ارائه شده،

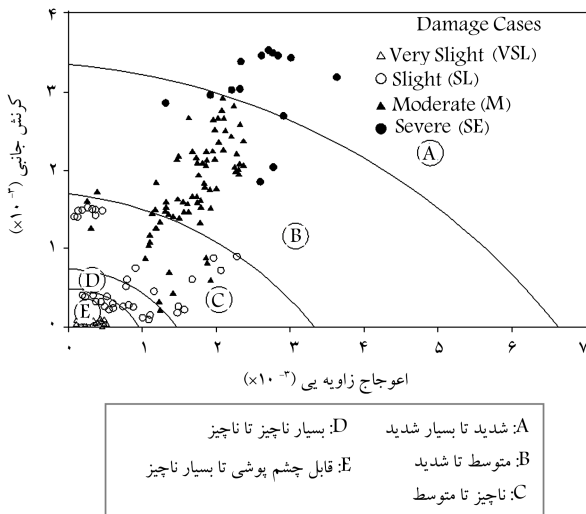
در سال‌های اخیر، میخ‌کوبی^۱ به عنوان یک روش اقتصادی به‌منظور تسبیت دیواره‌های گودبرداری مورد توجه بیشتری قرار گرفته است. شیوه‌ی اجرای این روش در مراجع و آینه‌های این روش تفصیل بیان شده است^[۲] و به طور خلاصه شامل تسلیح خاک با استفاده از المان‌های فولادی (میخ)^۲ در آرایش و طول مشخص است.

در طول اجرای روش میخ‌کوبی و با پیشرفت گودبرداری، دیواره‌ی گود تمایل به جاچایی به سمت داخل گود دارد و المان‌های فولادی با تحمل کشش، از جاچایی دیواره‌ی گود به سمت داخل گود جلوگیری می‌کنند. از این رو المان‌ها با پیشرفت گودبرداری به صورت مقاوم^۳ عمل می‌کنند و ناحیه‌یی از خاک پشت دیواره، حالت محرك^۴ می‌یابد.^[۱,۲] به عبارت دیگر، در روش میخ‌کوبی، به‌منظور بسیج شدن نیروی کششی در المان‌های فولادی، جاچایی دیواره اجتناب‌ناپذیر است.

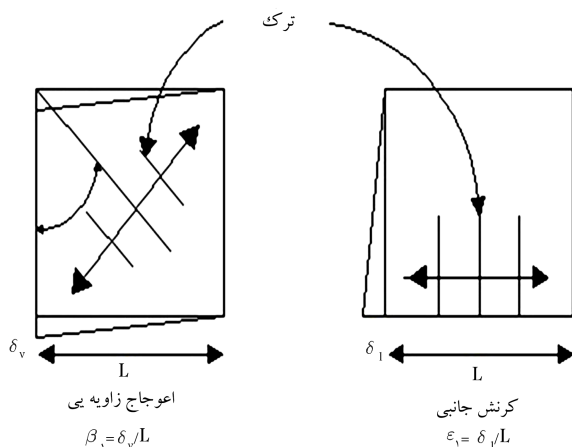
* نویسنده مسئول
تاریخ: دریافت ۱۳۹۲/۹/۲۵، اصلاحیه ۱۷، پذیرش ۱۳۹۳/۲/۱۵.

از پارامترهای تغییرشکل هستند و توسط داده‌های عددی و آزمایشگاهی کالبیره شده‌اند.^[۱۲] در شکل ۱ مشاهده می‌شوند.

توصیف پارامترهای تعریف‌کننده محورهای افقی و قائم در شکل ۱، در شکل ۲ راهه شده است. همان‌طورکه در شکل ۱ ملاحظه می‌شود، پارامترهای ارائه شده به طور کلی در بردارنده مشخصات تغییرشکل سازه هستند و پروفیل تغییرشکل دیواره گود در پژوهش‌ها متفاوت باشد. در پژوهش‌های دیگر نیز مطالعات بیشتری در این زمینه صورت گرفته است،^[۱۳-۱۵] که در آن‌ها سطوح خرابی با استفاده از



شکل ۱. درجه‌بندی سطوح خرابی براساس بازشگی و تغییر زاویه‌ی قاب.



شکل ۲. معرفی پارامترهای شکل ۱ و رابطه‌ی ۱.

جدول ۱. درجه‌بندی سطح خرابی براساس روش مشاهداتی.^[۲۲]

عرض تخمینی ترک	توضیحات در رابطه با نوع خرابی *	سطح خرابی
کمتر از ۱mm	ترک‌های ریز که به سادگی قابل ترمیم باشد.	بسیار ناچیز (VSL)
کمتر از ۵mm	ترک‌هایی که به راحتی قابل مشاهده بوده و نیاز به زیرسازی چندانی ندارند.	ناچیز (SL)
بین ۵ mm تا ۱۵ mm یا تعداد ترک بیش از ۳	ترک‌هایی که نیاز به شکافتن و زیرسازی مجدد جهت ترمیم دارند.	متواضع (M)
بین ۱۵ mm تا ۲۵ mm تابع تعداد ترک‌ها	ترک‌هایی که عمدتاً با تغییر شبکه کف، تغییرشکل قاب‌های در و پنجره همراه است.	شدید (SE)
بیش از ۲۵ mm	ترک‌هایی که نیازمند بازسازی کلی و عمدتاً سازه‌ی داشته باشند.	بسیار شدید (VSE)

* توضیحات کامل در رابطه با سطح توصیفی خرابی در مرجع ۲۲ ارائه شده است.

در خاک‌های رسی سفت و خاک‌های ماسه‌یی، بیشینه‌ی تغییرشکل افقی دیواره به ۵٪ ارتفاع محدود شده است.

پیش‌بینی شکل پروفیل نشست در طول گودبرداری و همچنین مقادیر و حالت تغییرشکل دیواره گود از دیگر موارد مطالعه توسط پژوهشگران مختلف بوده است.^[۷-۹] در مطالعات مذکور که بیشتر ماهیت تجربی داشته‌اند، پروفیل تغییرشکل و نشست خاک برای چند روش مختلف: دوخت به پشت، اجرای شمع و اجرای بادبند (دستک) مورد مطالعه قرار گرفته است.

استفاده از روش‌های عددی و المان محدود به منظور ارزیابی پروفیل تغییرشکل محدوده‌ی اطراف گود توسط برخی از پژوهشگران مورد توجه قرار گرفته است.^[۱۰-۸]

در عمدۀی مطالعات ذکر شده، به ارزیابی شکل پروفیل نشست پرداخته شده است. اثر سختی دیواره گود در پروفیل نشست و پروفیل تغییرشکل افقی دیواره، مقادیر نیروهای ایجادشده در سیستم تسليح از دیگر موارد بررسی در مطالعات مذکور بوده است. همان‌طورکه اشاره شده است، تغییرشکل‌های دیواره و جابجا‌یی‌های زمین ناشی از گودبرداری در صورت حضور سازه در مجاورت گود، اهمیت دو چندان می‌یابد. ارزیابی و تخمین اثر تغییرشکل‌های پیش‌گفته در خرابی سازه‌های مجاور گود از موضوعات با اهمیت است، که در سال‌های اخیر مورد توجه بسیار قرار گرفته است. در تعریف میزان خرابی سازه از مفهوم «سطح خرابی» استفاده می‌شود. منظور از «سطح خرابی» حدود خرابی قابل انتظار در سازه است و هر سطح خرابی تعریف‌کننده‌ی بیشینه‌ی خرابی قابل انتظار در سازه است.

به منظور تعیین سطوح خرابی سازه به واسطه‌ی گودبرداری، پارامترهای با عنوان کلی «پارامترهای تغییرشکل»^۵ تعریف شده است.^[۱۱] این پارامترها معروف تغییرشکل افقی و دورانی قاب سازه براساس جابجا‌یی افقی و نشست محدوده‌ی اطراف گود هستند. سطوح خرابی سازه‌ی مجاور گود به واسطه‌ی جابجا‌یی‌های ناشی از گودبرداری با انجام آزمایش‌های تجربی مقایسه شده،^[۱۲-۱۳] مشاهدات میدانی و مطالعات موردي،^[۱۴-۱۵] و همچنین مطالعات عددی،^[۱۶-۱۸] مورد بررسی قرار گرفته است.

یکی از مهم‌ترین پژوهش‌های انجام شده در زمینه‌ی تعیین سطوح خرابی در سال ۱۹۷۷ انجام شده است،^[۱۹] که در آن یک روش مشاهداتی براساس عرض و فراوانی ترک‌های ایجادشده در سازه، به منظور تعیین درجه‌ی خرابی سازه ارائه شده است. عمدۀی نتایج مطالعات مذکور در جدول ۱ ارائه شده است، که مطابق آن ملاحظه می‌شود که با توجه به ابعاد و توزیع ترک‌ها، میزان آسیب وارده به سازه در سطح بسیار ناچیز، ناچیز متوسط، شدید و بسیار شدید،^۶ تقسیم‌بندی شده است. براساس تقسیم‌بندی مشاهداتی ارائه شده در جدول ۱، پژوهشگران مختلف سطوح خرابی سازه‌ی مجاور گود را با توجه به پروفیل تغییرشکل کف گود و کریشن جانبی سازه،^[۲۰-۲۲] و همچنین براساس اختلاف نشست ستون‌های سازه،^[۲۳] ارائه کردند. در پژوهش‌های دیگر نیز به ارائه‌ی سطوح خرابی براساس بازشگی قاب و تغییر زاویه‌ی آن پرداخته شده است.^[۱۵-۱۹] سطوح مذکور که بر مبنای مشخصات دقیق تری

جدول ۲. درجه‌بندی سطح خرابی براساس DPI [۲۷-۲۵].

DPI	سطح خرابی
۰-۱۵	قابل چشمپوشی تا بسیار ناچیز
۱۵-۲۵	ناچیز
۲۵-۳۵	ناچیز تا متوسط
۳۵-۶۰	متوسط
۶۰-۸۵	شدید
> ۸۵	بسیار شدید

تعریف شاخص پتانسیل خرابی (DPI)^۷ برای سازه‌ی مجاور گود مطابق جدول ۲ ارائه شده است. پارامتر DPI مطابق رابطه‌ی ۱ تعریف می‌شود:

$$DPI = 20 \times 10^3 (\varepsilon_1 \cos \theta_{\max} + \beta \sin \theta_{\max} \cos \theta_{\max}) \quad (1)$$

که در آن، ε_1 و β مطابق شکل ۲ تعریف شده است.

سطوح خرابی ارائه شده در منابع مختلف محدود بوده و در بسیاری از موارد، به‌واسطه‌ی لزوم ابزاربندی سازه‌ی مجاور گود، کارایی لازم را نداشته‌اند. از طرف دیگر در تعریف سطوح خرابی موجود، تقاضای بین سیستم‌های مهار در نظر گرفته نشده است و داده‌های به کاررفته در تعریف سطوح خرابی شامل گودهای مهارشده با روش‌های مختلف بوده است.

در این نوشتار با استناد به ۱۰ مطالعه‌ی موردی صورت‌گرفته در خاک تهران و همچنین بهره‌گیری از تحلیل‌های عددی به ارائه سطوح خرابی سازه‌های مصالح بنایی مجاور گودهای تسليح شده با سیستم میخ‌کوبی پرداخته شده است. در تعریف سطوح خرابی از متغیر DPI با مفهوم پیش‌گفته استفاده شده است.

۲. روش انجام پژوهش

به‌منظور ارائه سطوح خرابی سازه‌ی مجاور گود از مطالعات موردی و تحلیل‌های عددی استفاده شده است. بدین منظور در ابتدا، مدل عددی از دیواره‌ی میخ‌کوبی و سازه‌ی مجاور آن ایجاد و به بررسی مفهوم خرابی و چگونگی توزیع آن در قاب‌ها و طبقات یک سازه‌ی ۲ طبقه پرداخته شده است. پس از این مرحله، به‌منظور ارائه سطوح خرابی سازه‌ی مجاور گود، این مرحل صورت پذیرفته است:

۱. مطالعات موردی: در طول ۲ سال، ۴ پروژه‌ی گودبرداری عمیق در فازهای انجام مطالعات ژوتکنیک، طراحی سیستم تسليح، نظارت بر اجراء، ابزاربندی و پایش تک خودگی مورد مطالعه قرار گرفته است. نتایج این مطالعات به عنوان بخشی از مطالعات موردی لحاظ شده است. به‌منظور افزایش دامنه‌ی داده‌ها در مطالعات موردی، اطلاعات مربوط به مشخصات خاک، نقشه‌های اجرایی، نتایج ابزاربندی از ۲۷ پروژه‌ی گودبرداری عمیق دیگر (در محدوده عمق ۱۶/۷ متر) از شرکت‌های طراح و مجری دریافت شده است.
۲. فیلترکردن نتایج مانیتورینگ: داده‌های مربوط به ۱۴ پروژه‌ی گودبرداری از داده‌های جمع‌آوری شده در مرحله‌ی قبیل بواسطه‌ی عدم دقت در روش نقشه‌برداری به کار گرفته شده، برخورد با مشکلات اجرایی در طول گودبرداری، نتایج غیرمنطقی در جابجایی با توجه به شرایط خاک پروژه، شیوه‌ی اجرا نامناسب از محدوده داده‌های مورد مطالعه حذف شده است.
۳. کنترل سازه‌های مجاور گود: در این مرحله با حضور در محدوده‌ی هر یک از ۱۷ پروژه‌ی گودبرداری (کسر ۱۴ پروژه‌ی حذف شده از ۳۱ پروژه تحت

۳. ارزیابی پتانسیل خرابی در سازه‌ی مجاور دیوار

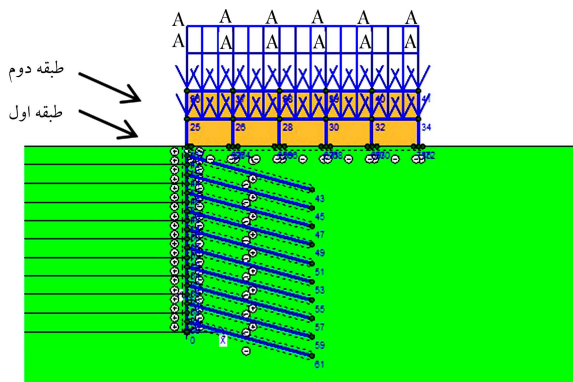
میخ‌کوبی

در این نوشتار پیش از ارائه سطوح خرابی، ابتدا با استفاده از مدل سازی عددی، پتانسیل خرابی در قاب‌های مجاور دیواره‌ی میخ‌کوبی مورد ارزیابی قرار گرفته است. هدف از این بخش، آشنایی بیشتر با مفهوم خرابی و همچنین چگونگی توزیع خرابی در قاب‌ها و طبقات یک سازه در مجاورت دیواره‌ی گود است.

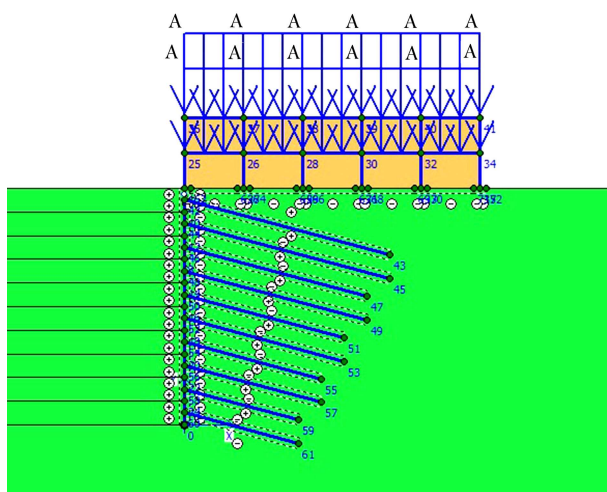
بدین منظور با استفاده از نرم‌افزار Plaxis به مدل سازی دیواره‌ی میخ‌کوبی و سازه‌ی مجاور آن پرداخته شده است. در این مدل، خاک به صورت یک لایه و با مشخصات ارائه شده در جدول ۳ و سازه‌ی مجاور دیواره‌ی میخ‌کوبی در ۲ طبقه و ۵ قاب (هر یک به عرض ۵ متر) در نظر گرفته شده است. آرایش میخ‌کوبی و

جدول ۳. پارامترهای خاک به کار گرفته شده در مدل عددی.

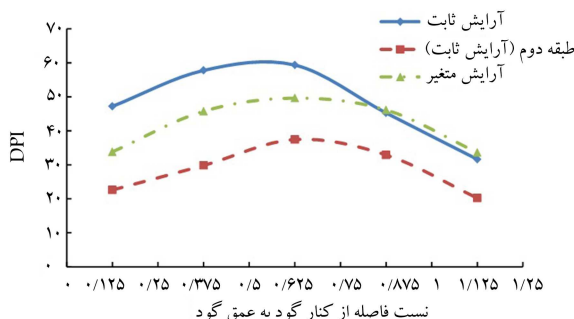
پارامتر	γ_{unsat} (KN/m ³)	K_{inc}^c (KN/m ³)	P_{ref} (KN/m ³)	E_{ref} (KN/m ³)	E_{oed} (KN/m ³)	E_{ur}^{ref} (KN/m ³)
مقدار	۲۰			$1.9E^5$	$9.2E^4$	$6.4E^4$
پارامتر	m			Φ	ϕ	C_{ref}
مقدار	0.1			0.2	0.8	0.38
پارامتر				R_f	Y_{ref}	C_{inc}
مقدار				0.1	0.1	0.1



شکل ۴. مدل عددی ایجاد شده از سیستم میخ کوبی با طول ثابت.



شکل ۵. مدل عددی ایجاد شده از سیستم میخ کوبی با طول متغیر.

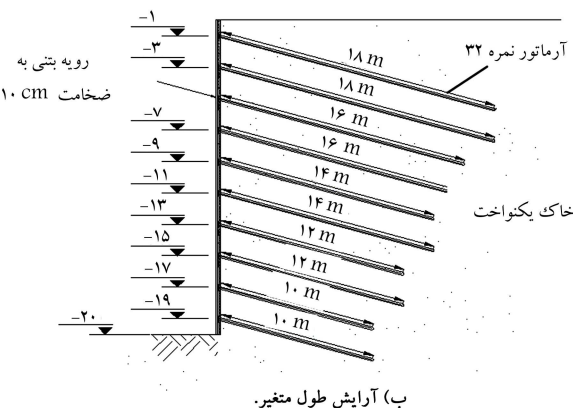
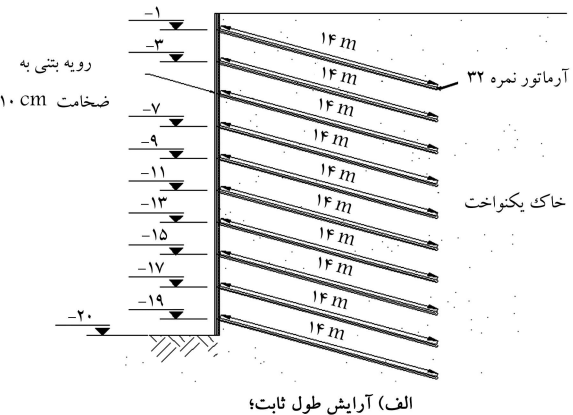


شکل ۶. مقادیر درجهی خرابی در ۲ طبقه‌ی سازه و در ۲ آرایش میخ کوبی با طول ثابت و طول متغیر.

سایر مشخصات مدل مطابق شکل ۳ انتخاب شده است. در شکل های ۴ و ۵ مدل عددی ایجاد شده نشان داده شده است.

در هر یک از دو حالت فوق، مقادیر پتانسیل خرابی (DPI) در هر قاب سازه محاسبه شده است. به منظور محاسبه DPI، مقادیر جابجایی در ۴ گوشی هر قاب از مدل قرائت شده و در ادامه، مقادیر ϵ_1 و β مطابق با روابط ارائه شده در شکل ۲ محاسبه شده است. پس از ارزیابی مقدار دو پارامتر فوق از رابطه $\epsilon_1 = \text{DPI}$ محاسبه شده است.

در شکل ۶، مقدار این پارامتر در قاب‌های مختلف سازه نشان داده شده است. در شکل مذکور، محور قائم بیانگر مقدار DPI و محور افقی بیانگر نسبت فاصله‌ی مرکز هر قاب به عمق گود است. منحنی با خط ممتد در این شکل بیانگر درجهی خرابی در هر قاب از طبقه‌ی اول و با آرایش میخ با طول ثابت، منحنی به صورت خط - نقطه بیانگر درجهی خرابی در هر قاب از طبقه‌ی اول و با آرایش میخ با طول

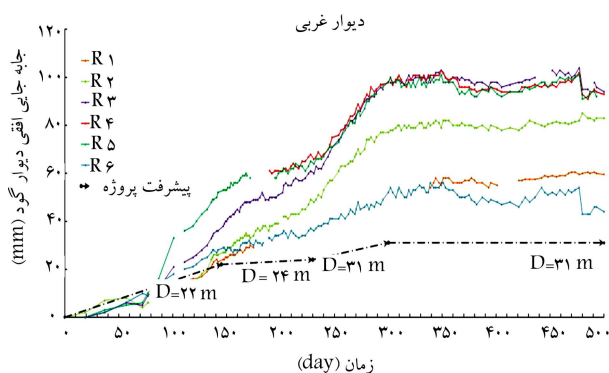


شکل ۷. سیستم میخ کوبی.

جدول ۴. اطلاعات موارد بررسی شده در مطالعه‌ی موردي.

ردیف	نوع سازه	گود	عمق	فاصله	دهانه	طبقات	شماره‌ی
۱	مصالح بنايی	۳۱	۱۳	۵ - ۶	۲		
۲	مصالح بنايی	۲۳/۵	۰	۵ - ۶	* ۱ + ۱		
۳	مصالح بنايی	۲۲	۶/۵	۴ - ۵	۳		
۴	مصالح بنايی	۲۲/۵	۱/۵	۵ - ۶	۲		
۵	مصالح بنايی	۲۶	۰	۵ - ۶	۲		
۶	مصالح بنايی	۲۶	۰	۵ - ۶	۲		
۷	مصالح بنايی	۳۱	۷	۴ - ۵	۲		
۸	مصالح بنايی	۲۸	۱/۵	۵ - ۶	۲		
۹	مصالح بنايی	۲۸	۰	۵ - ۶	۲		
۱۰	مصالح بنايی	۱۶/۷	۰	۴ - ۵	۳		

* یک طبقه‌ی زیرزمین.



شکل ۷. نمونه‌یی از نتایج مانیتورینگ دیواره‌ی میخ‌کوبی شده.

این رو سعی شده است با بهره‌گیری از تحلیل‌های عددی و با استفاده از نرم‌افزار Plaxis موارد تحت مطالعه در قالب مطالعات موردي، اصلاح و ایده‌آل سازی شود تا قابلیت استنتاج بیشتری یابد و مقایسه‌پذیرتر شود. بدین منظور در مرحله‌ی اول، مدل عددی از هر یک از ۱۰ مورد تحت مطالعه ایجاد و هم‌سنگی شده است. هم‌سنگی مدل‌های عددی در ۲ حالت انجام شده است:

۱. میزان جابجایی دیواره‌ی گود براساس نتایج تحلیل عددی با نتایج حاصل از مانیتورینگ دیواره‌ی گود در شرایط واقعی مورد مقایسه و هم‌سنگی قرار گرفته است. نمونه‌یی از نتایج مانیتورینگ دیواره‌ی گود در شکل ۷ نشان داده شده است (مربوط به مورد ۱ در جدول ۴).

۲. درجه‌ی خرابی سازه براساس نتایج تحلیل عددی با نتایج حاصل از روش مشاهداتی مورد مقایسه و هم‌سنگی قرار گرفته است. این تذکر لازم است که به منظور تعیین درجه‌ی خرابی براساس نتایج تحلیل عددی، مقادیر جابجایی در ۴ گوشه‌ی هر قاب از مدل دریافت شده و در ادامه، مقادیر α و β مطابق با روابط ارائه شده در شکل ۲ محاسبه شده است. پس از ارزیابی مقدار دو پارامتر ذکر شده، از رابطه‌ی ۱ و جدول ۲، سطح خرابی در هر قاب از سازه در مدل عددی تعیین شده است. براساس روش مشاهداتی نیز ارزیابی درجه‌ی خرابی براساس موارد مندرج در جدول ۱ صورت پذیرفته است. این تذکر لازم است که معیار تحلیلی ارائه شده در جدول ۲ و رابطه‌ی ۱ براساس معیار مشاهداتی جدول ۱ بوده است و همبستگی بین معیار تحلیلی و مشاهداتی وجود دارد. [۲۷-۲۵]

متغیر و منحنی به صورت خط چین بیانگر درجه‌ی خرابی در هر قاب از طبقه‌ی دوم و با آرایش میخ با طول ثابت است.

مطابق شکل ۶ ملاحظه می‌شود که میزان خرابی قاب‌ها با فاصله‌گرفتن از برگود تا اندازه‌یی افزایش و سپس کاهش یافته است. از طرف دیگر، مطابق نتایج بدست آمده ملاحظه می‌شود که مقادیر درجه‌ی خرابی در حالت میخ‌کوبی با آرایش حالت آرایش با طول میخ متغیر کتر از درجه‌ی خرابی در حالت میخ‌کوبی با آرایش میخ ثابت است. این اختلاف با افزایش فاصله‌ی قاب سازه از برگود کاهش می‌یابد. با مقایسه‌ی مقادیر پتانسیل خرابی در قاب‌های طبقه‌ی اول و دوم سازه مشاهده می‌شود که میزان شاخص خرابی در طبقه‌ی دوم سازه‌ی مجاور گود در حدود ۵۰٪ طبقه‌ی اول آن است.

۴. سطوح خرابی پیشنهادی

۱.۴. مطالعات موردي

به منظور ارائه‌ی سطوح خرابی در مرحله‌ی اول، ابتدا ۴ پروژه‌ی گودبرداری در شهر تهران مورد مطالعه قرار گرفته است. مطالعه صورت‌گرفته شامل: طراحی دیواره‌های گود به روش میخ‌کوبی، رفتارنگاری دیواره‌های گود و پایش ترک خوردنی در سازه‌های اطراف گود با پیشرفت گودبرداری بوده است. در مرحله‌ی بعد به منظور افزایش موارد مطالعه، داده‌های مربوط به نقشه‌های اجرایی، مشخصات زئوتکنیک محدوده‌ی گودبرداری، مانیتورینگ گود و... از ۲۷ پروژه‌ی گودبرداری عمیق در محدوده‌ی عمق ۱۶/۷ متر تا ۳۱ متر در شهر تهران جمع‌آوری شده است.

با وجود جمع‌آوری داده‌ها از گودهای بزرگ و حساس و تحت نظرت گروه‌های فنی متخصص، داده‌های جمع‌آوری شده از ۱۴ پروژه، دقت کافی نداشته و یا جبهه‌های کاری در پروژه به واسطه‌ی برخورد با چاه، گالری‌های موجود در مجاورت گود، متوقف بودن فرایند گودبرداری در طول چند سال و یا سایر مشکلات اجرایی، قضاوت در مورد نتایج جابجایی ارائه شده و تحلیل داده‌ها را با مشکل مواجه ساخته و از این رو داده‌های مربوطه از محدوده‌ی مطالعات موردي حذف شده‌اند.

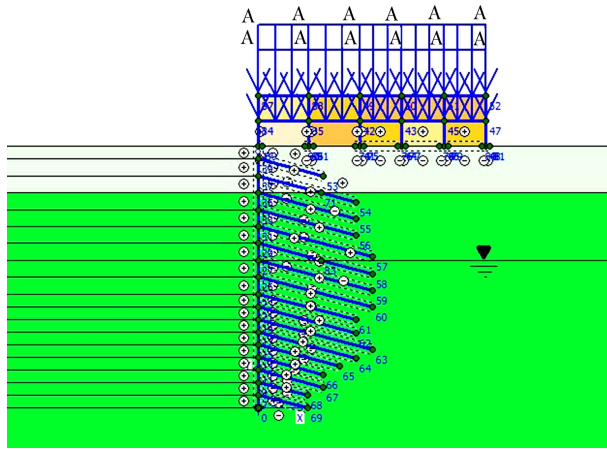
در مرحله‌ی دوم، با حضور در محل پروژه‌های مورد مطالعه، ضمن بررسی بیشتر وضعیت گودبرداری، به ارزیابی وضعیت سازه‌های مجاور گود از نظر سازه‌یی، تعداد طبقات، قدامت ساخت، ابعاد قاب‌ها و درجه‌ی خرابی قاب‌ها با توجه به روش مشاهداتی ذکر شده در مقدمه پرداخته شده است. در این مرحله نیز به واسطه‌ی عدم امکان بازدید از برخی سازه‌ها، شرایط خاص سازه، موقعیت سازه نسبت به گود و... برخی از داده‌ها از مطالعات موردي حذف شده‌اند.

با توجه به مطالب اشاره شده، پس از بررسی داده‌های اولیه، ۱۰ مورد مطابق جدول ۴ به منظور انجام مطالعات موردي انتخاب و در هر مورد فقط یک قاب به منظور تحلیل عددی استفاده شد.

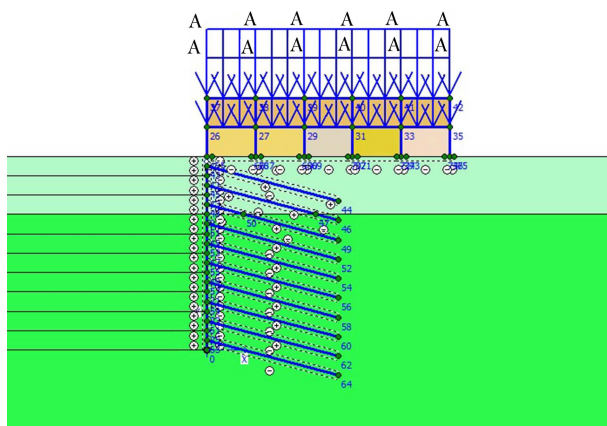
۲.۴. ایده‌آل سازی مطالعات موردي با استفاده از تحلیل‌های عددی

موارد تحت مطالعه در قالب مطالعات موردي، از پروژه‌های مختلف حاصل شده و با توجه به مشخصات خاص هر پروژه، طراحی سیستم تسلیح متفاوت بوده است. از طرف دیگر، سطح آب، عمق گودبرداری در پروژه، مشخصات اجرایی سازه‌های مجاور گود در هر پروژه متفاوت است. این موارد سبب شده است که با وجود حذف و فیلترکردن بسیاری از داده‌ها، مقایسه‌ی نتایج به دست آمده از مطالعات موردي و نتیجه‌گیری از داده‌ها به واسطه‌ی تفاوت‌های ذکر شده تا اندازه‌یی غیرممکن شود. از

مدل عددی ساخته شده از یکی از موارد تحت مطالعه (مورد ۱ در جدول ۴) در شکل ۸ نشان داده شده است. در این مدل سازی از المان های beam به منظور شبیه سازی المان های قاب سازه با مصالح بنایی استفاده شده است. این المان به واسطهٔ در نظر گرفتن مقاومت خمشی و برشی، برای شبیه سازی میخ ها و شاتکریت



شکل ۸. مدل عددی ساخته شده از یکی از موارد تحت مطالعه.



شکل ۹. مدل عددی ایده‌آل سازی شده.

۳.۴. ارائهٔ سطوح خرابی

براساس خروجی مدل عددی، به ارزیابی درجهٔ خرابی در قاب های مجاور گود پرداخته شده است. برای این منظور از مفهوم DPI بهره گرفته شده است. بر این اساس، با تعیین مقادیر جابجایی قاب ها و استفاده از رابطهٔ ۱، مقدار DPI برای هر قاب محاسبه شده است.

مقادیر جابجایی تاج در هر یک از ۱۰ مورد تحت مطالعه و فاصله های مرکز هر قاب از لبهٔ گود به همراه درجهٔ خرابی قاب های مجاور گود (در طبقه اول)، به عنوان داده های به دست آمده از تحلیل های عددی (منتج شده از مطالعات موردي) در قالب شکل ۱۰ ارائه شده است، که در آن: محور افقی، جابجایی بیشینه ی گود، محور قائم، نسبت فاصله های مرکز هر قاب از لبهٔ گود به عمق گود؛ و اعداد مجاور هر نقطه، مقدار DPI مرتبط با قاب مورد مطالعه بوده است.

مطابق شکل مذکور ملاحظه می شود که هیچ روند منطقی بی در داده های تحت مطالعه قابل مشاهده نیست. از این رو سعی شده است محدودهٔ تغییرات اعداد مورد مطالعه (DPI) تا اندازه بی کاهش یابد. بدین منظور از درجه بندی مطابق جدول ۲ در مقدمه استفاده شده است. با این تقسیم بندی، اعداد ارائه شده در شکل ۱۱ به ۶ درجه مطابق شکل ۱۲ تقسیم شده است.

مطابق شکل، باز هم استحصال یک روند منطقی از تغییر درجهٔ خرابی براساس تغییرات جابجایی بیشینه و فاصله های مرکز قاب از بر گود تا اندازه بی دشوار است. از این رو، دسته بندی داده ها مطابق شکل ۱۲ انجام شد. مطابق این شکل، صفحه به

در این مدل سازی، پارامترهای مدل S-H به منظور شبیه سازی خاک و پارامترهای مدل موهر - کلمب (به عنوان یک مدل کشسان خمیری) برای شبیه سازی دیواری آجری در نظر گرفته شده است. به منظور تخمین پارامترهای دیوار آجری، عموماً از تعریف «واحد بنایی» استفاده شده است. به عنوان مثال براساس نمودارهای ارائه شده در سال ۱۹۸۳^[۱] با در نظر گرفتن ضخامت ملات برابر ۱۵ میلی متر و نسبت مدول کشسانی آجر به ملات برابر ۴/۴، نسبت مدول کشسانی دیوار در جهت قائم به مدول

کشسانی آجر برابر ۶۷/۰ و این نسبت در جهت افق برابر ۶۲/۰ است.

در این پژوهش به منظور تخمین پارامترهای مقاومتی، واحد بنایی سطح کیفیت خوب^۸، کیفیت متوسط^۹ و کیفیت بد^{۱۰} مورد استفاده قرار گرفته است.^[۲] مطابق با سطوح کیفیت پیش گفته که براساس مشاهدات عینی و قضایت مهندسی تعیین می شود، سطح کیفیت خوب متناظر با مقاومت برابر 60 Kg/cm^2 و سطح کیفیت متوسط و ضعیف به ترتیب متناظر با مقاومت برابر 20 Kg/cm^2 و 40 Kg/cm^2 است. مقدار مدول کشسانی 550 Kg/m برابر مقاومت فشاری واحد بنایی در نظر گرفته شده است.^[۳] در مدل سازی صورت گرفته، با توجه به فواصل دیوار برابر و ضخامت دیواره، پارامترهای مدول کشسانی و مقاومت فشاری برای واحد بنایی مطابق روابط ۲ و ۳ اصلاح شده است:

$$\nabla_{eq} = \frac{\nabla_b \times b}{L} \quad (2)$$

$$E_{eq} = \frac{E_b \times b}{L} \quad (3)$$

که در آن ها، پارامتر b معرف عرض دیوار برابر و پارامتر L معرف طول دهانه دیوار برابر است.

همان طور که اشاره شده است، هر یک از ۱۰ مورد تحت مطالعه دارای شرایط خاص طراحی، عمق مقاوت، تراز آب مقاوت و... بوده است. از این رو به منظور امکان مقایسه و استنتاج بهتر از موارد تحت مطالعه، به اصلاح و ایده‌آل سازی مدل هم سنجی شده از هر یک از ۱۰ مورد تحت مطالعه پرداخته شده است. اصلاح و ایده‌آل سازی مدل ها در قالب این موارد صورت پذیرفته است:

۱. آب زیرزمینی حذف شده است.

۲. عمق دیواره های گود برابر ۲۰ متر در نظر گرفته شده است.

۳. طول میخ ها برابر $7/0$ ارتفاع دیواره گود لحظ شده است.

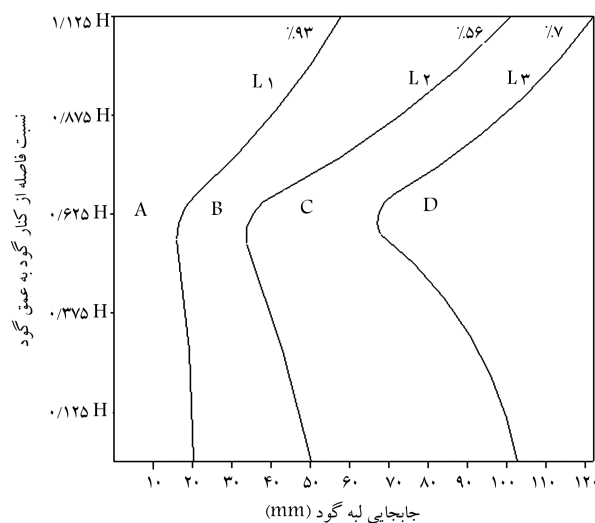
۴. اصلاح ابعاد قاب ها، عرض قاب ها در محدوده $4 \text{ تا } 6 \text{ متر}$ قرار داشته است، که در حالت ایده‌آل شده، عرض کلیه قاب های برابر 5 متر در نظر گرفته شده است.

این تذکر لازم است که سختی قاب ها و دیوارها، نوع پی، خاک محدوده گود برداری، ضرایب فشار خاک بر دیواره، سطوح تماش، مشخصات فنی سیستم تسلیح، بارگذاری، اندازه های مدل، ابعاد مشینی، نوع المان ها، شرایط مرزی، و درجات آزادی از جمله مواردی است که در طول اصلاح و ایده‌آل سازی، تغییر نکرده و در حالت کالیفره شده باقی مانده است.

مدل ساخته شده از مورد ۱ در جدول ۴، با اعمال اصلاحات ذکر شده در شکل ۹ نشان داده شده است.

جدول ۵. احتمال خرابی در محدوده های شکل ۱۵.

محدوده (%)			
D	C	B	A
۰	۰	۰	۲۳ ND
۰	۰	۶	۲۳ VSL
۰	۷	۵۰	۲۷ SL
۰	۳۶	۳۸	۷ M
۲۰	۵۰	۶	۰ SE
۸۰	۷	۰	۰ VSE

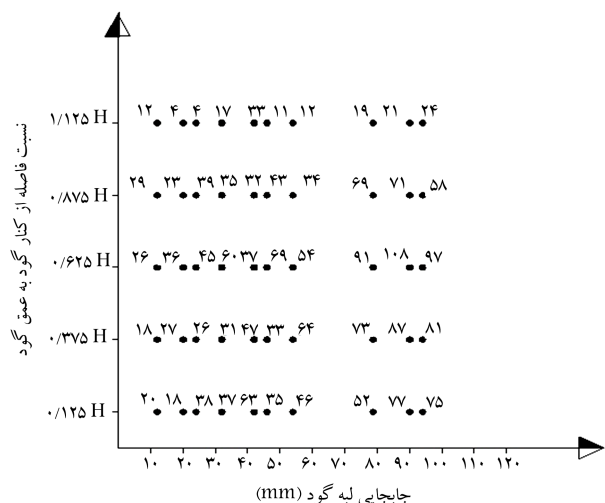


شکل ۱۳. تعریف حد سرویس سازه با توجه به میزان جابجایی بیشینه‌ی تاج دیواره‌ی گود و فاصله‌ی مرکز قاب سازه از برگود.

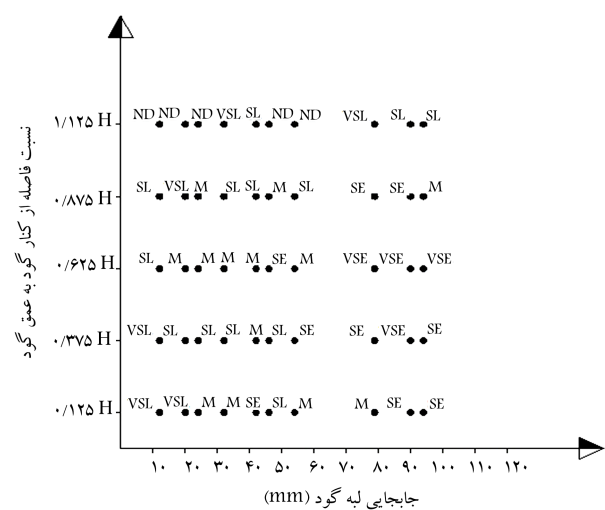
۴ ناحیه‌ی A, B, C و D تقسیم و فاصله‌ی تقریبی انتهای طول میخ‌ها از لبه‌ی گود به صورت خط‌چین نشان داده شده است. انتخاب نواحی از معادله‌ی خاصی پیروی نکرده و فقط براساس توزیع داده‌ها و به منظور نتیجه‌گیری بهتر از داده‌ها ارائه شده است. با استناد به شکل مذکور ملاحظه می‌شود که در فاصله‌ی برابر با طول میخ‌ها، میزان درجه‌ی خرابی به میزان بیشینه است، لذا این فاصله را می‌توان فاصله‌ی بحرانی نامید. با نزدیک شدن به لبه‌ی گود از فاصله‌ی بحرانی و یا با افزایش فاصله‌ی بیش از فاصله‌ی بحرانی، میزان خرابی ایجاد شده در سازه کمتر می‌شود. از طرف دیگر ملاحظه می‌شود که در محدوده‌ی بین فاصله‌ی بحرانی تا لبه‌ی گود، میزان درجه‌ی خرابی بیش از محدوده‌ی فاصله‌ی بحرانی تا محدوده‌ی تأثیرگود است. به منظور توصیف بیشتر شکل ۱۲، احتمال آسیب به قاب مجاور گود در هر یک از محدوده‌های A, B, C و D در جدول ۵ ارائه شده است. احتمال ارائه شده طبق تعریف برابر نسبت داده‌های هدف به تعداد داده‌های جامعه‌ی آماری است.

مطابق جدول ۵ ملاحظه می‌شود که چنانچه با توجه به مقادیر جابجایی دیواره‌ی گود و فاصله‌ی سازه‌ی مجاور آن از برگود، شرایط قاب سازه در حد ND برابر ۳۳٪، در حد شکل ۱۳ قرار گیرد، احتمال آسیب به قاب سازه در حد VSL و SL به ترتیب برابر ۳۳٪ و ۷٪ درصد است. این تذکر لازم است که توصیف حالت خرابی ارائه شده در جدول ۵، در جدول ۱ ارائه شده است.

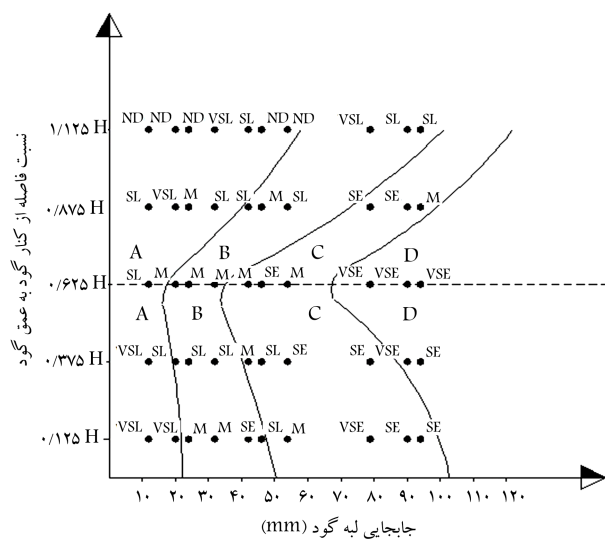
با درنظر گرفتن حد SL به عنوان حد ترک‌های غیرسازه‌ی و قابل تحمل برای



شکل ۱۰. مقادیر DPI به ازاء مقادیر مختلف جابجایی تاج و فاصله از برگود.



شکل ۱۱. درجات خرابی سازه‌ی مجاور گود به ازاء مقادیر مختلف جابجایی تاج و فاصله از برگود مطابق با تعریف جدول ۲.



شکل ۱۲. سطوح خرابی سیستم میخ‌کوبی.

۵. نتیجه‌گیری

مطابق با تحلیل‌های ارائه شده در این نوشتار، این نتایج قابل استنباط است:

۱. تعیین سطوح خرابی سازه‌های مجاور دیواره میخ‌کوبی شده براساس جابجایی افقی بیشینه‌ی دیواره‌ی گود و فاصله‌ی مرکز قاب سازه از برگود و همچنین معرفی حد سروپس در تعیین عملکرد دیواره‌ی میخ‌کوبی، مهم‌ترین دستاوردهای نوشتار است.
۲. در فاصله‌ی تقریباً برابر با طول میخ‌ها از برگود در سطح زمین مجاور گود، میزان درجه‌ی خرابی به میزان بیشینه است. این فاصله، فاصله‌ی بحرانی نامیده شده است. با نزدیک شدن به لبه‌ی گود از فاصله‌ی بحرانی و یا با افزایش فاصله‌ی بیش از فاصله‌ی بحرانی، میزان خرابی ایجاد شده در سازه کمتر می‌شود.
۳. درجه‌ی خرابی ایجاد شده در قاب‌های طبقه‌ی دوم سازه در حدود ۵۰٪ درجه‌ی خرابی قاب‌های طبقه اول سازه است. این اثر به واسطه‌ی محصور شدن و سختی بیشتر قاب‌های طبقه‌ی دوم است.

سازه، [۲۴] و یا به عبارت دیگر، حد سروپس سازه، می‌توان شکل ۱۳ را به منظور بررسی بیشتر احتمال خرابی سازه‌های مجاور گود ارائه کرد، که در آن احتمال عدم آسیب سازه‌ی به قاب‌های مجاور گود مشاهده می‌شود.

مطابق شکل مذکور مشاهده می‌شود که تا مرز ۱ L، احتمال عدم ایجاد ترک‌های سازه‌ی (خارج از حد سروپس) به قاب برابر ۹۳٪ و این احتمال تا مرزهای ۲ L و ۳ L به ترتیب برابر ۵۶٪ و ۷٪ است. همچنین ملاحظه می‌شود که به عنوان مثال چنانچه جابجایی ناج دیواره‌ی میخ‌کوبی شده براساس نتایج طراحی برابر ۳۰ میلی‌متر باشد، سازه‌های (با مصالح بنایی) موجود در محدوده‌ی دیواره‌ی گود تا فاصله‌ی برابر ۷٪ ارتفاع گود (از برگود) در ناحیه‌ی B قرار می‌گیرد و در فاصله‌ی بیش از آن در ناحیه‌ی A واقع می‌شود. به عبارت دقیق‌تر، قاب‌های در محدوده‌ی دیواره‌ی گود تا فاصله‌ی برابر ۷٪ ارتفاع گود با ایجاد ۳۰ میلی‌متر جابجایی، ۴۰٪ (کسر ۶۰ از احتمال ۱۰۰) احتمال ترک‌خوردگی در حد سازه‌ی را دارد، که این احتمال برای سازه‌های دورتر از ۷٪ ارتفاع گود به ۷٪ (کسر ۹۳ از احتمال ۱۰۰) کاهش می‌یابد. با توجه به میزان خرابی قاب انتظار می‌توان طرح را اصلاح و یا برای بازسازی سازه‌ی مجاور دیواره‌ی گود هزینه‌ی در نظر گرفت.

پانوشت‌ها

1. nailing
2. nail
3. passive
4. active
5. deformation parameters
6. very slight, slight, moderate, severe, very severe
7. damage potential index
8. good
9. fair
10. poor

منابع (References)

1. Lazarte, C.A., Victor Elias, P.E., Espinoza, R.D. and Sabatini, P.J., *Soil Nail Walls*, Report FHWA-IF-03-017, Washington D.C. 20590 (2003).
2. Ghahreman, B. "Analysis of ground and building response around deep excavation in sand", Ph.D. Thesis, Department of Civil Engineering, University of Illinois (2004).
3. Peck, R.B. "Deep excavation and tunneling in soft ground", *Proceedings of the Seventh International Conference on Soil Mechanics and Foundation Engineering*, Mexico City, State of the Art, pp. 225-290 (1969).
4. Terzaghi, K., Peck, R.B. and Mesri, G., *Soil Mechanics in Engineering Practice*, 3rd Edition, John Wiley and Sons, New York, NY (1996).
5. Muller, C.G., Long, J.H., Weatherby, D.E., Cording, E.J., Powers III, W.F. and Briaund, J.L. "Summary report of research on permanent ground anchor walls", *3: Model-scale Wall Tests and Ground Anchor Tests (No. FHWA-RD-98-067)* (1998).
6. Finno, R.J. and Roboski, J.F. "Three-dimensional response of a tied-back excavation through clay", *J. Geotechnical and Geoenvironmental Engineering*, **131**(3), pp. 273-282 (2005).
7. Kung, G.T.C., Juang, C.H., Hsiao, E.C.L. and Hashash, Y.M.A. "A simplified model for wall deflection and ground surface settlement caused by braced excavation in clays", *J. Geotechnical and Geoenvironmental Engineering, ASCE*, **133**(6), pp. 731-747 (2007).
8. Calvello, M. and Finno, R.J. "Selecting parameters to optimize in model calibration by inverse analysis", *Computers and Geotechnics*, **31**(5), pp. 411-425 (2004).
9. Finno, R.J. and Calvello, M. "Supported excavations: Observational method and inverse modeling", *Journal of Geotechnical and Geoenvironmental Engineering, ASCE*, **131**(7), pp. 826-836 (2005).
10. Kung, G.T.C., Hsiao, E.C.L. and Juang, C.H. "Evaluation of a simplified mallstrain soil model for estimation of excavation-induced movements", *Canadian Geotechnical Journal*, **44**(6), pp. 726-736 (2007).
11. Boscardin, M.D. "Building response to excavation induced movements", Ph. D. Thesis, Department of Civil Engineering, University of Illinois (1980).
12. Burland, J.B. "Assessment of risk of damage to building due to tunneling and excavation", *Proceeding of the 1th International Conference on Earthquake Geotechnical Engineering*, IS-Tokyo (1995).
13. Laefer, D.F. "Prediction and assessment of ground movement and building damage induced by adjacent excava-

- tion”, Ph.D. Thesis, Department of Civil and Environmental Engineering, University of Illinois (2001).
14. Sawwaf, M.E. and Nazir, A.K. “The effect of deep excavation-induced lateral soil movements on the behavior of strip footing supported on reinforced sand”, *J. Advanced Research*, **3**(4), pp. 337-344 (October 2012).
 15. Son, M. and Cording, E.J. “Estimation of building damage due to excavation-induced ground movements”, *J. Geotechnical and Geoenvironmental Engineering*, **131**(2), pp. 162-177 (2005).
 16. Bryson, L.S. and Kotheimer, M.J. “Cracking in walls of a building adjacent to a deep excavation”, *J. Performance of Construction Facilities*, **25**(6), pp. 491-503 (2011).
 17. Halim, D. and Wong, K.S. “Prediction of frame structure damage due to deep excavation”, *J. Geotechnical and Geoenvironmental Engineering*, **128**(12), pp. 1530-1536 (2012).
 18. Yoo, C. and Lee, D. “Deep excavation-induced ground surface movement characteristics – A numerical investigation”, *J. Computers and Geotechnics*, **35**(2), pp. 231-252 (2007).
 19. Son, M. and Cording, E.J. “Evaluation of building stiffness for building response analysis to excavation-induced ground movements”, *J. Geotechnical and Geoenvironmental Engineering*, **133**(8), pp. 995-1002 (2007).
 20. Son, M. and Cording, E.J. “Responses of buildings with different structural types to excavation-induced ground settlements”, *J. Geotechnical and Geoenvironmental Engineering*, **137**(4), pp. 323-333 (2011).
 21. Bryson, L.S. and Zapata-Medina, D.J. “Method for estimating system stiffness for excavation support walls”, *J. Geotechnical and Geoenvironmental Engineering*, **138**(9), pp. 1104-1115 (2012).
 22. Burland, J., Broms, B. and DeMello, V. “Behavior of foundations and structures: state-of-the-art report”, *Proceedings of the 9th International Conference on Soil Mechanics and Foundation Engineering*, Japanese Geotechnical Society, Tokyo, Japan, pp. 495-546 (1977).
 23. Boscardin, M. and Cording, E. “Building response to excavation induced settlement”, *J. Geotechnical Engineering Division, ASCE*, **115**(1), pp. 1-21 (1989).
 24. Son, M. “The response of buildings to excavation-induced ground movements”, PhD thesis, Univ. of Illinois at Urbana-Champaign, Urbana, Ill (2003).
 25. Hsiao, E., Schuster, M., Juang, C. and Kung, G., “Reliability analysis and updating of excavation-induced ground settlement for building serviceability assessment”, *J. Geotechnical and Geoenvironmental Engineering*, **134**(10), pp. 1448-1458 (2008).
 26. Schuster, M., Kung, G., Juang, C. and Hashash, M. “Simplified model for evaluating damage potential of buildings adjacent to a braced excavation”, *J. Geotechnical and Geoenvironmental Engineering*, **135**(12), pp. 1823-1835 (2009).
 27. Juang, C., Schuster, M., Yu Ou, C. and Phoon, K. “Fully probabilistic framework for evaluating excavation-induced damage potential of adjacent buildings”, *J. Geotechnical and Geoenvironmental Engineering*, **137**(2), pp. 130-139 (2011).
 28. Toe, P. and Wong, K. “Application of the hardening soil model in deep excavation analysis”, *J. IES, Part A: Civil & Structural*, **5**(3), pp. 152-165 (2012).
 29. Padde, G.N., Linang, J.X. and Middleton, J. “Equivalent elastic moduli for brick masonry”, *Journal of Computers and Geotechnics*, **8**(3), pp. 243-265 (1983).
 30. Management and Planning Organization Office of Deputy for Technical Affairs, *Instruction for Seismic Rehabilitation of Existing Unreinforced Masonry Buildings*, No. 376 (2007) (in persian).